QUARK E GLUONI SU RETICOLO

Marco Mariti

Congressino del Dipartimento di Fisica

23/04/2015

OUTLINE

Introduzione generale: le interazioni forti e la QCD

Cosa vuol dire Lattice QCD?

- Approccio numerico: simulazioni Monte Carlo
- Cosa si può studiare su reticolo

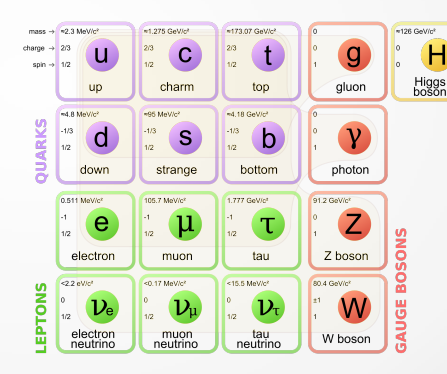
• Maggiori dettagli sull'attività di ricerca o Poster Session A. Rucci

CROMODINAMICA QUANTISTICA

Modello Standard: Interazioni forti ed elettrodeboli. Settore forte \rightarrow QCD.

$$\mathcal{L}_{QCD} = \sum_{f} \bar{\psi}_{i}^{f} (i(\gamma_{\mu}D^{\mu})_{ij} - m_{f}\delta_{ij})\psi_{j}^{f} - \frac{1}{4}G_{\mu\nu}^{a}G_{a}^{\mu\nu}$$

- QCD: come propagano e interagiscono tra loro quark e gluoni.
- Gruppo di simmetria non abeliano SU(3)
- Quark: spin ½, tre stati di carica di colore (oltre carica elettrica e debole)
- · Gluoni: spin 1

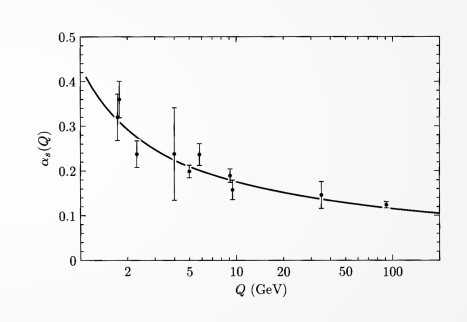


Quark e gluoni → Confinati negli adroni

CROMODINAMICA QUANTISTICA

L'accoppiamento dipende dall'energia del sistema.

- La carica di colore è schermata in modo inverso nel vuoto → sempre più piccola avvicinando i quark (alte energie)
- · Libertà asintotica



Due limiti:

- Alta energia ($E \gtrsim O(10)$ GeV): teoria delle perturbazioni OK
- Bassa energia ($E \simeq 100 \text{ MeV}$): regime non perturbativo

LIMITE BASSA ENERGIA

Bassa energia \rightarrow "Grande" distanza dove "grande" è la scala del fm (10^{-15} m)

Rilevante per:

- Materia adronica: spettri dei mesoni e barioni.
- Confinamento dei quark
- Diagramma di fase della QCD

Come studiare la QCD oltre la teoria delle perturbazioni?

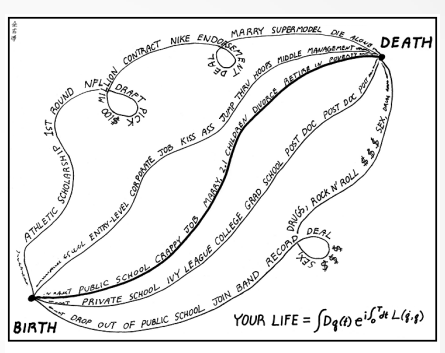
LATTICE QCD

Path Integral

• QM 1D. Formulazione Euclidea: $t \rightarrow it$ $(\hbar = c = 1)$

$$\langle q_1(t_1)|q_2(t_2)\rangle = \int_{q_1(t_1)}^{q_2(t_2)} Dq(t)e^{-S[q]}$$

 $e^{-S[q]}$ "pesa" i cammini



The Path Integral Formulation of Your Life

• QFT. $\hat{q} \rightarrow \hat{\phi}(x)$ operatore campo

$$\langle 0|\mathcal{O}|0\rangle = \frac{\int D\phi \ e^{-S[\phi]}\mathcal{O}[\phi]}{\int D\phi \ e^{-S[\phi]}}$$

 ∞ d.o.f \rightarrow non calcolabili senza teoria delle perturbazioni

LATTICE QCD

Monte Carlo

Idea base:

• Distribuzione di probabilità per i campi $\phi(x)$

$$\langle 0|\mathcal{O}|0\rangle = \frac{\int D\phi \ e^{-S[\phi]}\mathcal{O}[\phi]}{\int D\phi \ e^{-S[\phi]}} = \int D\phi \ P[\phi]\mathcal{O}[\phi]$$

- Algoritmo Monte Carlo: Campiono configurazioni di φ richiedendo:
 - Distribuzione di probabilità $P[\phi]$ (importance sampling)
 - · Spazio delle configurazioni connesso (ergodicità)

$$\bar{\mathcal{O}} = \frac{1}{N} \sum_{i=0}^{N} \mathcal{O}_i \qquad \langle 0 | \mathcal{O} | 0 \rangle \simeq \bar{\mathcal{O}} \pm O\left(\sqrt{\frac{1}{N}}\right)$$

Errore $O\left(\sqrt{\frac{1}{N}}\right)$ a prescindere dalle dimensioni del sistema!

LATTICE QCD

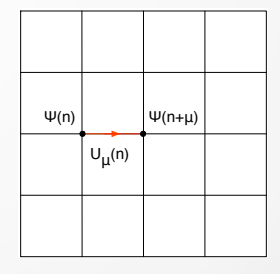
Implementazione numerica

Ci serve un numero finito di d.o.f

- Discretizzare spazio-tempo Euclideo ightarrow lattice spacing a
- Reticolo finito con condizioni al bordo (es. periodiche) ightarrow size L

Discretizzare la teoria su reticolo: $S_{QCD}(\psi, A_{\mu}) \rightarrow S_{lat}(\hat{\psi}, U_{\mu})$

- $\hat{\psi}(n)$: campi dei quark, definiti sui siti
- $U_{\mu}(n)=e^{igaA_{\mu}(n)}$: trasporti paralleli sul reticolo, fasi aquisite dai quark spostandosi da un sito all'altro (link)



$$P[U] = \frac{e^{-S_g[U]} \det M}{\int D[U]e^{-S_g[U]} \det M}$$

Positiva? — distribuzione di probabilità OK

SIMULAZIONI

A cosa stare attenti:

- Limite continuo $(a \rightarrow 0)$
- Effetti taglia finita ($L\gg {1\over m_\pi}$)

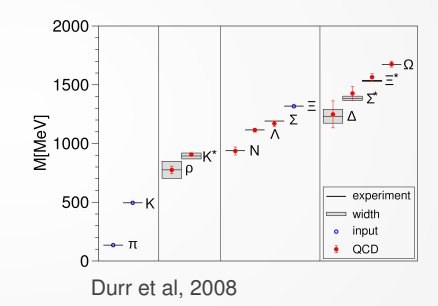
$$a\lesssim 0.1~\rm fm$$

 $L\gg 1~{\rm fm}$

Stato dell'arte

• Simulazioni 2+1 quarks con masse fisiche, $m_{\pi}=135 {\rm MeV}$

- $La \simeq 5 \mathrm{fm}$
- Precisione sulle masse $\simeq O(1)\%$



Potenza richiesta $\simeq 100 \text{ Tflop} \cdot \text{year} \longrightarrow \text{Indispensabili supercomputer!}$

Supercomputer O(10) Pflops

Vs

Desktop O(10) Gflops

SIMULAZIONI

→ Cosa si fa in pratica? ← Domanda: cosa voglio studiare?

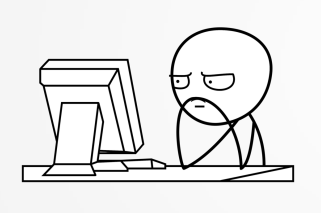


- Determinare una grandezza d'equilibrio del sistema (potenziali termodinamici, suscettività magnetica, ...)
- Confermare una previsione teorica (proprietà del vuoto, ...)
- Misurare costanti della teoria (spettro mesonico, tensione di stringa, ...)
- Cercare nuovi effetti

Simulazioni Monte Carlo → strumento d'indagine

SIMULAZIONI

 \longrightarrow Cosa si fa in pratica? Come per gli esperimenti, occorre progettare le simulazioni:



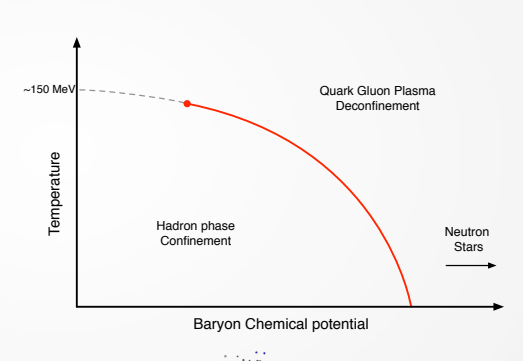
- Programmazione
 - Algoritmi simulazione
 - Osservabili da misurare
- Simulazione
 - Capire di che reticolo si ha bisogno
 - · Fissare i parametri della teoria
 - Valutare il tempo macchina necessario
- Analisi
 - Analisi statistica dei dati, ...

Sedersi alla scrivania e decidere con calma le strategie migliori

DIAGRAMMA DI FASE DELLA QCD

Quark e gluoni non sono sempre confinati nella materia adronica $\text{Per } \varepsilon \simeq 1 \text{GeV/fm}^3 \to \text{Transizione di fase}$

- $\mu_B = 0$: Deconfinamento a $T \simeq 150 {\rm MeV} \simeq 1.8 \cdot 10^{12} {\rm K}$
- μ_B ≠ 0: problema del segno → difficoltà nelle simulazioni!
- Rilevante per:
 - Heavy ion collisions
 - · Prime fasi cosmologiche
 - · Stelle di neutroni











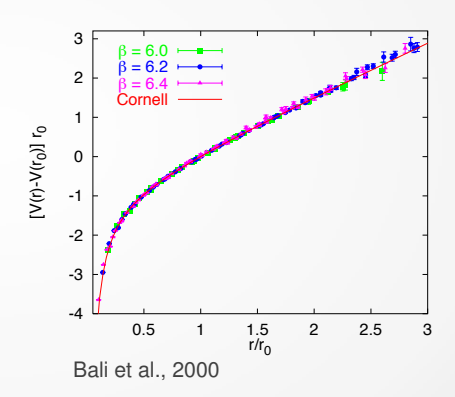


VUOTO DELLA QCD

• Potenziale statico Q ar Q

$$V(r) = \sigma r + \frac{\alpha}{r} + c$$

- · Fenomenologia dei mesoni
- · Simulazioni su reticolo
- Masse adroniche: riprodotti spettri mesonici-barionici
- Topologia: struttura non banale del vuoto (istantoni)
 - · Carica topologica
 - · Suscettività topologica



CAMPI MAGNETICI IN QCD

QCD in presenza di forti campi magnetici $eB \simeq 10^{15} \ {\rm T} \simeq 0.06 \ {\rm GeV}^2 \simeq 3.3 m_\pi^2.$

- Collisioni heavy ions non centrali ($eB \simeq 10^{15} \mathrm{T}$)
- Prime fasi cosmologiche $(eB \simeq 10^{16} \mathrm{T})$
- Magnetars ($eB \simeq 10^{10} \text{T}$)



Cosa si studia?

- Modifica diagramma di fase
- Modifica del potenziale statico quark-antiquark
- Proprieta magnetiche della materia fortemente interagente